

计算简单多边形的核

——计算几何实验报告 2003 年 12 月

指导教师： 邓俊辉

作者： 万海 (035451)

蒋弘山 (035441)

吴邦欲 (035454)

1. 问题描述

简单多边形的定义：设平面上 n 个点 v_0, v_1, \dots, v_{n-1} 按循环排序方法逆时针排列， v_0 在 v_{n-1} 之后，又设 $e_0 = v_{n-1}v_0, e_1 = v_0v_1, e_{n-1} = v_{n-2}v_{n-1}$ ，是连接点的 n 条线段，那么这些线段界定一个简单多边形，当且仅当：1、循环排序中相邻线段对的交是它们之间共有的单个点： $e_i \cap e_{i+1} = v_i$ ；2、不相邻的线段不相交： $e_i \cap e_j = \emptyset, j \neq i+1, i=1, 2, \dots, n-1, e_0 = e_n$ 。

简单多边形 P 的核(kernel), $K(p)$ 定义如下： $K(p)$ 由多边形内部的点构成，这些点与多边形的任何顶点相连所构成的线段完全包含在 P 中。

$K(p)$ 的定义还可以等价地描述为：如果将多边形 P 的边看作逆时针方向所构成的环，则 $K(p)$ 是多边形的所有边的左半平面的交集。通过观察可以发现， $K(P)$ 或者为空或者为完全包含在 P 内的有界凸集。

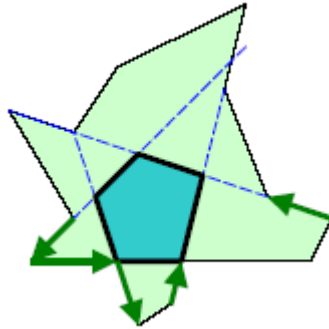


图 1 kernel 的定义

1976 年，Shamos 和 Hoey 提出了在 $O(n \log n)$ 的时间内完成 n 条边构成的简单多边形的 kernel 算法，该算法基于的思想是求 n 个一般的半平面的交需要的时间是 $O(n \log n)$ ，基本上是蛮干型。但经分析发现该下界并不适合求 kernel，这是因为在简单多边形中，所有半平面是按边的顺序有序排列的，而他们在设计算法时忽略了这一个特性。

1994 年 Sven Schuierer 在论文 "An $O(\log \log n)$ Algorithm to Compute the Kernel of a Polygon" 提出了利用 $n/\log \log n$ 个处理器并行处理点包含和直线求交的方法，将求 kernel 的复杂度降为 $O(\log \log n)$ 。该算法基于按斜率排序的边数据结构，这篇论文的特点是将 kernel 的特性以及存在 kernel 的多边形的特性分析得非常透彻，但实现起来比较困难。

我们的实验是基于 1978 年 D.T.LEE 和 F.P.PrePARATA 提出的一个改进算法，在仔细阅读论文的过程中我们还发现图表和描述存在一些小的错误。这个算法充分利用了半平面有序排

列的特性，效率能达到线性时间，(与边的数目呈线性关系)。这种具有线性复杂度的算法称为核序列算法。算法依序扫描P的顶点，同时构造一个凸多边形的核序列 K_1, K_2, \dots, K_{n-1} ，这里每个多边形既可能有界也可能无界。 K_i 是 e_0, e_1, \dots, e_i 的 $i+1$ 个左半平面的交集， $i=1, 2, \dots, n-1$ ，因此有 $K_{n-1} \subseteq \dots \subseteq K_2 \subseteq K_1$ ，且 $K_{n-1} = K(P)$ 。

2. 计算模型和基本概念

两种算法的计算模型是一致的。

简单多边形P的输入用一系列的顶点表示， v_0, v_1, \dots, v_{n-1} ，其中 $n \geq 4$ ，顶点 v_i 用实数坐标表示 (x_i, y_i) ，多边形的边的表示方法为： $e_i = (v_{i-1}, v_i)$ ， $i=1, 2, \dots, n$ ，表示由顶点 v_{i-1} 和 v_i 构成的边。为方便表达，多边形P用顶点和相关的边形成的有序循环链表示 $v_0 e_1 v_1 e_2 v_2 \dots e_{n-1} v_{n-1} e_n v_0$ 。其中 $e_n = v_{n-1} v_0$ 。同时我们给每条边赋予一个方向，使得多边形落在边的左侧，或者说多边形的边界定义为逆时针走向。

如果顶点 v_{i+1} 位于包含边 e_i 且与 e_i 通向的直线的右侧，则称 v_i 是凹点， v_i 的内角大于 180° 。否则称 v_i 为凸点。在算法设计时，为了方便消除直线角(straight-angle)，我们将凸点的内角严格定义为小于 180° ，消除直线角对多边形没有任何影响，可以在算法实施前在 $O(n)$ 的时间内对P的边界做扫描来完成。

一些基本概念：

线的标记 (Denotement of Line)：A 和 B 是包含边 e 的直线上的两个点，则 A、B 之间与 e 同方向的线段标记为 AeB ；从 B 发出的与 e 同方向的射线标记为 $\hat{B}e$ ；以 B 为终点的与 e 同方向的射线标记为 $\hat{e}B$ 。

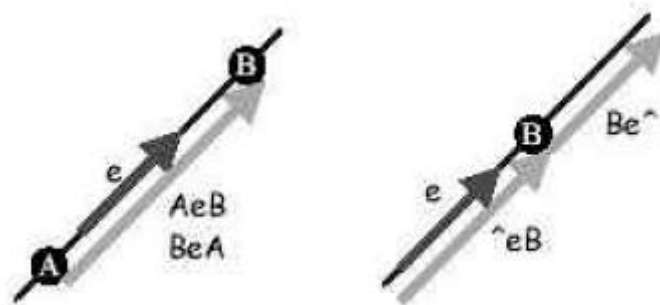


图2 线段的标记

线性或循环表 (Linear/Circular List)：在处理过程中， K_i 被维护成为顶点和顶点之间边的双链表，这个表为线性或者循环取决于 K_i 是开放还是封闭的，当它是线性表时，它的第一项和最后一项分别对应表头和表尾。

支持射线及支持点 (Support Ray/Point)：如下图所示， K_i 关于顶点 v_i 的支持射线为 f_i 和 l_i ，关于顶点 v_i 的支持点为 F_i 和 L_i 。支持射线和支持点分别是某点到某凸集的

两条切线和两个切点。其中指定以 v_i 为起点的两条半线 f_i 到 l_i ，在包含 k_i 的平面区域，从 f_i 到 l_i 的逆时针方向的角小于 180° 。 F_i 和 L_i 在以 k_i 为基础求 k_{i+1} 的过程中扮演重要角色。

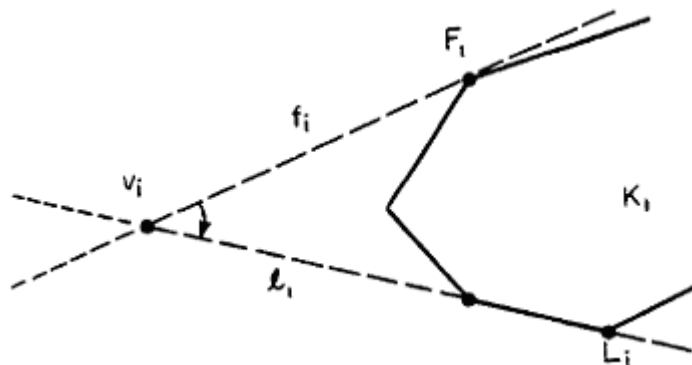


图 3 F_i 和 L_i 定义的图示

3. 算法思想

依次扫描多边形 P 的顶点，构造一个序列的凸多边形集 K_1, K_2, \dots, K_{n-1} ，其中必然存在一个数 $r < n$ ，使得 K_1, K_2, \dots, K_{r-1} 是开放的，而 K_r, \dots, K_{n-1} 是封闭的。

所以，如果 w_i 和 w_{i+1} 是 P 的边 e_x 所在的直线上的两点，则称 $w_i e_x w_{i+1}$ 贡献了 w_i 和 w_{i+1} 之间的与 e_x 同方向的一条线段。如果 k_i 是开放的，则必然存在两条半线边(half-lines)， $\wedge e w$ 贡献的半线与 e 同向，终止于点 w ， $w e \wedge$ 贡献的是补充半线，从点 w 出发，与 e 同向。

如果 P 中没有凹点，那么 P 是一个凸集，很显然 $K(P)=P$ ，所以在算法开始之前的预处理时首先搜索各顶点的内角，直到找到一个凹点，我们设为 v_0 。图示如下：

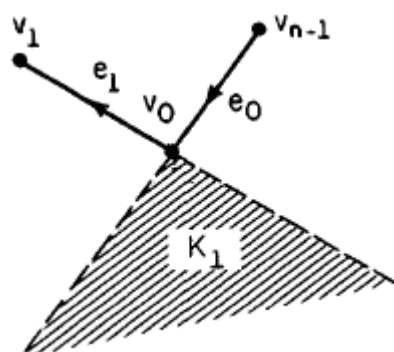


图 4 多边形 k_1 的图示

- 初始步改进：
原算法在只有找到凹点时才开始构造 kernel。改进为从任意点开始都可以。初始步，首先设置 K_1 为 e_0 和 e_1 的两个左半平面的交，之后分两类情况设置 F_1 和 L_1 ：
 - a、当顶点 v_0 对应的角为凹角时， F_1 和 L_1 分别被设置成 $\wedge e_1 v_0$ 和 $v_0 e_0 \wedge$ 的无穷远点；
 - b、当顶点 v_0 对应的角为凸角时， F_1 被设置成 v_0 ， L_1 被设置成 $v_0 e_1 \wedge$ 的无穷远点。

如下图 5 所示：

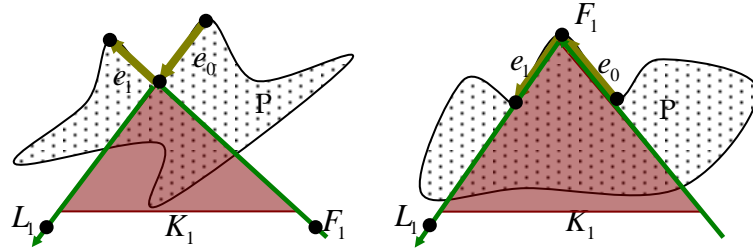


图 5 以任意点为起点时 F_1 和 L_1 的图示

● 循环递增产

在 K_i 的基础上求 K_{i+1} ，假定我们得到了 K_i （它由以逆时针方向排列的顶点序列 w_1, w_1, \dots 及相应的边来表示），为了构造 K_{i+1} ，我们区分如下两大类情况：

a、顶点 v_i 对应的角为凹角，即 $-\pi < e_i e_{i+1} < 0$ ，此时

i) 若支持点 F_i 位于 $\wedge_{e_{i+1}v_i}$ 的左侧，即 $\wedge_{e_{i+1}v_i}$ 与 k_i 无交点的情况。则将 K_{i+1} 置为 K_i ，同时分别从 F_i 和 L_i 沿着逆时针方向找 K_{i+1} 相对于顶点 v_{i+1} 的支持点 F_{i+1} 和 L_{i+1} ，如图 6(a) 所示；

ii) 若支持点 F_i 位于 $\wedge_{e_{i+1}v_i}$ 上，即 $\wedge_{e_{i+1}v_i}$ 与 k_i 相切的情况。则将 K_{i+1} 置为 K_i ，置 F_{i+1} 为 F_i ，同时从 L_i 沿着逆时针方向找 K_{i+1} 相对于顶点 v_{i+1} 的另一支持点 L_{i+1} ；

iii) 若支持点 F_i 位于 $\wedge_{e_{i+1}v_i}$ 的右侧，此时若 L_i 位于 $\wedge_{e_{i+1}v_i}$ 的右侧或其上，则 $K_{i+1} = \emptyset$ ，从而 $\ker(P)$ 亦为空，结束运行；否则即是 $\wedge_{e_{i+1}v_i}$ 与 K_i 相交的情况。此时 $\wedge_{e_{i+1}v_i}$ 至多与 K_i 的边界 ∂K_i 交于两个点，按 ∂K_i 中线段的顺序可得 w'' 和 w' 两点，从 F_i 沿着逆时针方向搜索 ∂K_i 上的交点 w' ，搜索终止于 L_i ，若 w' 不存在，证明 K_i 位于 $\wedge_{e_{i+1}v_i}$ 的右侧， $K_{i+1} = \emptyset$ ，从而 $\ker(P)$ 亦为空，结束运行。（理论上说这种情况不会发生，因为通过判断 L_i 与 $\wedge_{e_{i+1}v_i}$ 的位置关系已经能够得出交点一定存在的结论，但是考虑到实际运算时存在舍入误差，故加上这一步判断）。否则，若 K_i 开放，则另一个交点一定不存在，将另一交点置为 e_i 方向上的无穷远点 w'' ；否则，即若 K_i 封闭，则再从 F_i 沿着顺时针方向搜索 ∂K_i 上的交点 w'' 。连接 $w'' w'$ ，丢弃 K_i 中位于 $w'' e_{i+1} w'$ 右侧的部分，剩余部分构成 K_{i+1} ，置 F_{i+1} 为 w'' ，从 L_i 沿着逆时针方向找 K_{i+1} 相对于顶点 v_{i+1} 的另一支持点 L_{i+1} ，如图 6(b) 所示。

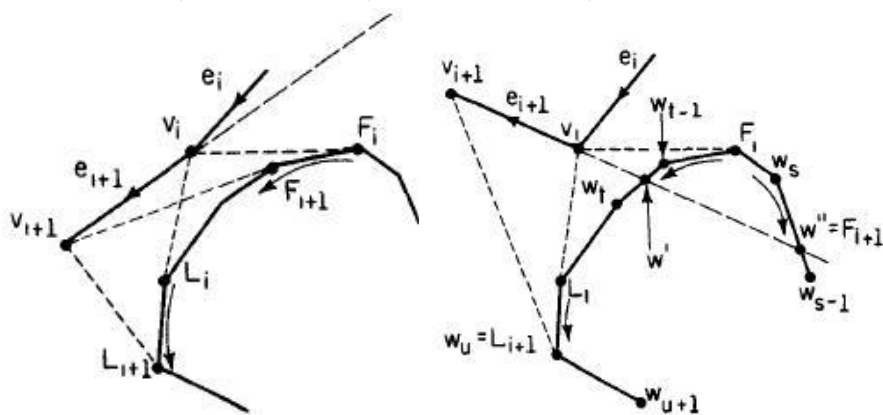


图 6 (a)

图 6 (b)

b、顶点 v_i 对应的角为凸角，即 $0 < e_i e_{i+1} \wedge < \pi$ ，此时

i) 若支持点 L_i 位于 $v_i e_{i+1} \wedge$ 的左侧或 $v_i e_{i+1} \wedge$ 上，则将 K_{i+1} 置为 K_i ，同时分别从 F_i 和 L_i 沿着逆时针方向找 K_{i+1} 相对于顶点 v_{i+1} 的支持点 F_{i+1} 和 L_{i+1} ，如图 7(a) 所示；

ii) 若支持点 L_i 位于 $v_i e_{i+1} \wedge$ 的右侧，此时若 F_i 位于 $v_i e_{i+1} \wedge$ 的右侧或其上，则 $K_{i+1} = \emptyset$ ，从而 $\ker(P)$ 亦为空，结束运行；否则，即 F_i 位于 $v_i e_{i+1} \wedge$ 的左侧，则 $v_i e_{i+1} \wedge$ 与 K_i 的边界 ∂K_i 交于一个或两个点，首先从 L_i 沿着顺时针方向搜索 ∂K_i 上的交点 w' ，若 K_i 开放，则根据 $v_i e_{i+1} \wedge$ 的方向判定是否存在另一个交点 w'' ，如果 $v_i w' \wedge$ 位于 $v_i F_i \wedge$ 和 $v_i e_{i+1} \wedge$ 之间，则从 L_i 沿着逆时针方向搜索 ∂K_i 上的交点 w'' ，否则 w'' 为 $v_i w' \wedge$ 方向上的无穷远点，连接 $w' w''$ ，丢弃 K_i 中位于 $w' w''$ 右侧的部分，剩余部分构成 K_{i+1} 。接着更新 K_{i+1} 和 L_{i+1} 的值，若 $v_{i+1} \in [v_i e_{i+1} w']$ ，则从 F_i 沿着逆时针方向找 K_{i+1} 相对于顶点 v_{i+1} 的另一支持点 F_{i+1} ， L_{i+1} 设为 w'' ；否则，若 $v_{i+1} \in (w' e_{i+1} w'')$ ，则置 $F_{i+1} = w'$ ， $L_{i+1} = w''$ ；否则，置 $F_{i+1} = w'$ ，并从 w'' 沿着逆时针方向 ∂K_i 上的支持点 L_{i+1} ，如图 7(b) 所示。

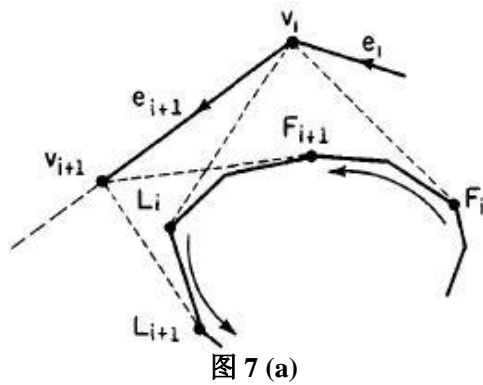


图 7 (a)

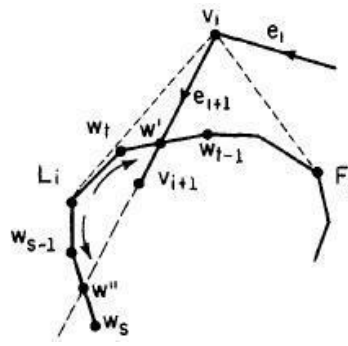


图 7 (b)

4. 我们对论文中算法的改进和修正

- 原论文中的图 Fig3 和 Fig4 画法有错。因当 kernel 未封闭时，首尾两条半线应是发散的，不应该画成收敛状态。

- 初始步改进：

原算法在只有找到凹点才开始构造 kernel。改进为从任意点开始都可以。原算法在多边形为凸包时效率高，但一般情况下需要耗费 $O(n)$ 的时间来查找凹点。改造后的算法在一般情况下节省了找凹点的时间，但当多边形为凸包时则不如原算法预处理效率高。我们做此修改的原则是算法具有普遍性。

- 循环递进改进：

(1) 当 v_i 是凹点时，kernel 不可能由 unbounded 状态转换为 bounded 状态。

(2) 当 v_i 是凸点时，kernel 不可能与 $v_i e_{i+1} \wedge$ 交于两点而仍保持 unbounded 状态。

也就是说在本文的图 6(b)和图 7(b)中，直线 $e_{i+1} \wedge$ 不可能与 K_i 上以 L_i 为起点逆时针方向的边有交点。

改进分析：减少了复杂情况的判断，进一步提高效率。理论证明见本文后半部分。

5. 理论证明

引理 1 H_i 定义为位于直线 e_i 的左边的半平面, 则 k_{i+1} 是 $H_0, H_1, \dots, H_{i+1}, i=0, 1, \dots, n-2$ 的交集。

证明 采用归纳法。 $k_1 = H_1 \cap H_2$, 假定 $k_i = H_0 \cap H_1 \cap \dots \cap H_i$, 由于算法实现基于 $k_{i+1} = k_i \cap H_{i+1}$, 因此得到 $k_{i+1} = H_0 \cap H_1 \cap \dots \cap H_i \cap H_{i+1}$ 。

引理 1 保证了构造 $K(P)$ 的算法的正确性。但经分析发现, 有可能存在这样的 P , 且 $K(P) = \emptyset$, 但是循环递增时却要花费 $O(n^2)$ 的开销, 因此需要仔细分析研究 kernel 的特性, 以便尽早发现 $K(P) = \emptyset$, 从而算法终止。

引理 2 P 是一个简单多边形, 假定 $K(P) \neq \emptyset$, 那么对任意点 $p \in K(P)$, 以及 P 的边界上的任意点, 线段 pu 必然包含在 P 内。

证明 设 u 是边 $e_j = (v_{j-1} v_j)$ 上的点, 假设 pu 不在 P 中, 设 q 是 pu 落在 P 外部的任意点。由于 p 和 u 都位于 P 内部, 而 pu 只是部分落在 P 内部, 则必然存在多边形的两条边, 设为 e_r 和 e_s 在 q 的两边分别从不同方向穿越 pu 。又由于 $p \in K(P)$, 根据 kernel 的定义, p 与 P 的顶点的连线都位于 P 内部, 因而 P 中的边不可能穿过线段 (pv_{j-1}) 和 (pv_j) , 而 P 的边界本身构成环, e_r 和 e_s 应属于 v_j 和 v_{j-1} 之间的边所构成的链 C 上, C_{ej} 是封闭的, 因而我们推导出结论 $P \subset (pv_{j-1} v_j)$, 进而得出结论: 不可能 (pv_{j-1}) 和 (pv_j) 同时是 C_{ej} 上的边, 至少有一条落在 P 的外部, 这与 kernel 的定义矛盾, 假设不成立。

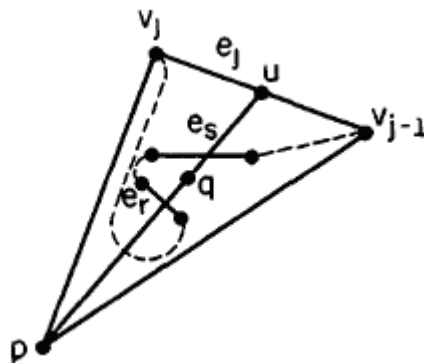


图 8 如果 $p \in K(P)$, 则在 (pu) 上不存在落在 P 外部的点

引理 2 的结论实际上强化了 kernel 的定义, 也就是表明, kernel 中的任意点到 P 的边界上的任意点间的连线都位于 P 的内部。

现在我们着重考虑从 P 中的点 v_0 引出的针对 k_i 的支持线的半线 f 和 l , 指定从 f 到 l 的顺时针角为凸的, f^* 为 v_0 和距 v_0 最远的支持点间的线段, f^- 为 f 的补充半线, l^* 和 l^- 的定义类同。

定理 1 设 k_{i+1} 非空, e_{i+1} 穿越 l^* 或者 f^- , 且 v_{i+1} 位于由 l 和 f^- 所构成的凸区域中, 那

么 $K(P) = \emptyset$ 。

证明 假设 e_{i+1} 穿越 l^* (穿越 l^* 的下方怎么办? 准确的描述应该为 l^* 是一条半线), 则可以说 P 的边界将 v_0 和 k_{i+1} 分离开了 (图 9(a)), 这个现象在 P 的边界同时穿越 f^* 和 l^* 时很明显, 如果不是同时穿越, 例如, 图示中 v_i 位于 f^* 和 l^* 所围成的区域, v_i 不可能位于阴影区, 否则与 e_{i+1} 穿越 l^* 和 f^* 矛盾, 或者说 P 的边界穿越 l^* 两次, 会导致 k_{i+1} 为空。假定 $K(P) \neq \emptyset$, 令 $p \in K(P)$, 所以 $p \in k_{i+1}$, 依据引理 2, 线段 (pv_0) 应位于 P 的内部, 但实际上, (pv_0) 跨越了 P 的边界, 矛盾, 所以 $K(P) = \emptyset$ 。

假设 e_{i+1} 穿越 l^{\setminus} (图 9(b)), 我们说 P 的边界将 f^{\setminus} 和 l^{\setminus} 构成的凸域分开了, 这个现象在 P 的边界同时穿越 f^{\setminus} 和 l^{\setminus} 时很明显, 如果不是同时穿越, 例如, 图示中 v_i 位于 f^{\setminus} 和 l^{\setminus} 所围成的区域, v_i 不可能位于阴影区, 否则与 e_i 穿越 l^* 和 f^{\setminus} 矛盾, 或者说 P 的边界穿越 f^{\setminus} 两次, 会导致 k_{i+1} 为空。假定 $K(P) \neq \emptyset$, 令 $p \in K(P) \subseteq k_{i+1}$, 半线 $p(pv_0)^{\setminus}$ 与 P 的边界交于点 u , 根据引理 2, 线段 (pu) 应包含在 P 中, 但事实上它在 v_0 点穿越边界, 矛盾, 所以 $K(P) = \emptyset$ 。

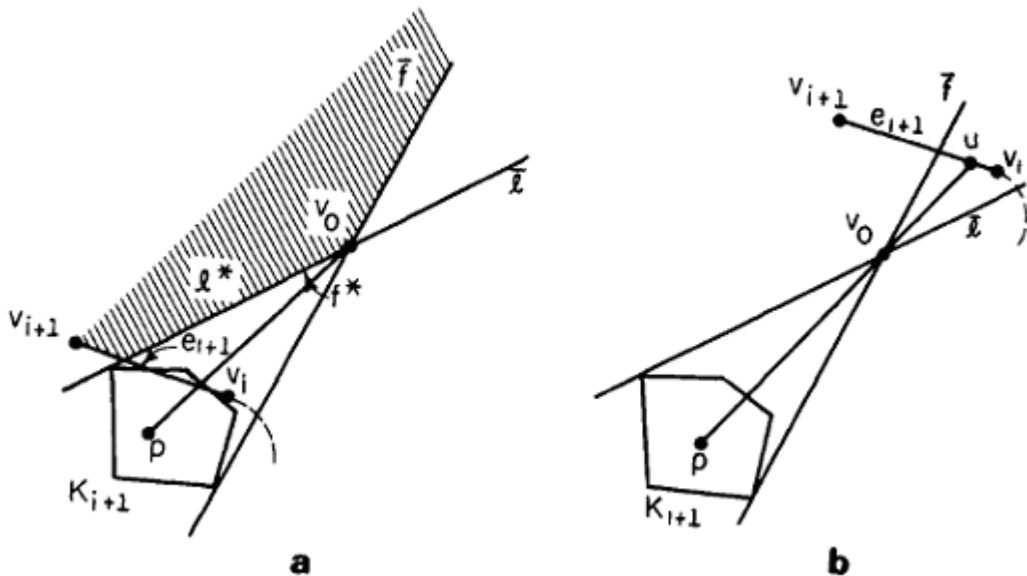


图 9 定理 1 证明的图示

根据上面的定理, 我们按如下方式修改循环递增产:

计算 k_{i+1} , F_{i+1} , L_{i+1} 之前, 测试是否 e_{i+1} 穿越 l^* 或 f^* , 同时测试 v_{i+1} 是否位于 f^* 和 l^* 界定的阴影区, 如果条件成立, 则终止算法, 令 $K(P) = \emptyset$ 。

(1) 在循环递增产的 a(iii) 和 b(ii), 令 F^* 和 L^* 为 f 和 l 上的支持点, 在确定 k_{i+1} 、 F_{i+1} 和 L_{i+1}

后，更新 F^* 和 L^* 。在计算 k_1 时，令 F^* 和 L^* 分别指向各自半线的无线远处的点。如果在从 k_i 形成 k_{i+1} 时， F^* 或者 L^* 没有被删除，不必更新，否则必须根据 k_{i+1} 生成新的针对 v_0 的支持点。如果 v_i 是凹的：当 v_0 在 $\wedge e_{i+1} v_{i+1}$ 的左边，则 $F^* \leftarrow w'$ ， $L^* \leftarrow w''$ ；当 v_0 在 $\wedge e_{i+1} v_{i+1}$ 的右边，则 $F^* \leftarrow w''$ ， $L^* \leftarrow w'$ ；如果 v_i 是凸的：当 v_0 在 $v_i e_{i+1}$ 的左边，则 $L^* \leftarrow w'$ ， $F^* \leftarrow w''$ ；当 v_0 在 $v_i e_{i+1}$ 的右边，则 $L^* \leftarrow w''$ ， $F^* \leftarrow w'$ 。其中 w' 和 w'' 是在 a(iii) 和 b(ii) 中求出， w'' 可能是半线上无穷远处的点。

推论 1 假设 k_i 不空， $p \in k_i$ ， α_j 是三角形 $(p v_{j-1} v_j)$ 在点 p 的内部角，定义如果按逆时针方向 $(p v_j)$ 在 $(p v_{j-1})$ 之后，则角的值为正，否则为负，其中 $j=1, 2, \dots, i$ ，我们可以有结论： $\sum_{j=1}^i \alpha_j < 3\pi$ 。

证明 反证法。假设 $\sum_{j=1}^i \alpha_j \geq 3\pi$ 。这意味着 P 的边界从 v_0 开始，如图 10 所示围绕 k_i 中的任一点转圈， k_i 是封闭的，(a) 图中， P 的边界在支持点两边从两个方向跨越 l ，(b) 图中， P 的边界跨越 f ，根据定理 1， $K(P) = \emptyset$ ，矛盾，假设不成立。

根据我们的分析，认为原算法中有一点考虑不完善。即当 v_i 是凹点时，不可能将原理不封闭的 kernel 构造成封闭的 kernel 。也就是说原论文算法中(1.1)的(ii)最后一种情况不存在。为此，引入了下面的引理、定理和推论。

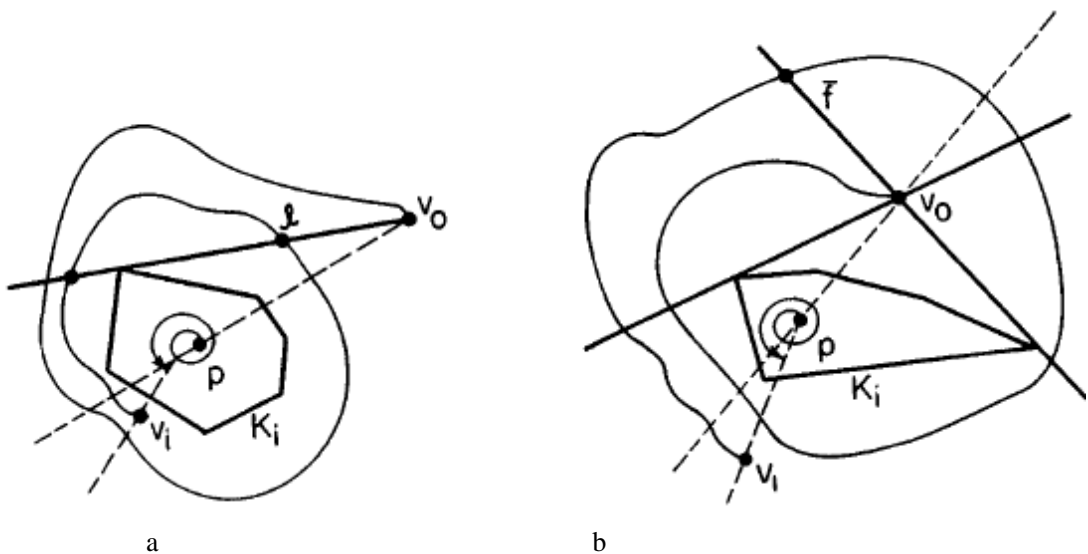


图 10 推论 1 证明的图示

以下的定理和推论是我们在分析问题时得出来的，根据推论我们优化了论文中的算法，丢弃了有两个交点时，逆时针查找第二个交点的情况。但尚未经过 D.T.Lee 的认可。

定理 2 在图 11 中，假设处理到点 v_i 时 k_i 尚未封闭，start 和 stop 分别是首尾两条半线，那么 v_i 只能出现在直线 stop 的右边或者在直线 stop 上。

证明 假设 v_i 出现在 stop 的左边，那么由于 stop 必是两相邻点构成的线段所在的直线，设为 v_j 和 v_{j+1} ，那么由于 $j+1 < i$ ，必然存在一条路径从 v_{j+1} 能够到达 v_i ，在这些路径形成的直线中，一定存在这样的直线，或者使 K 落在它的右侧，导致 $K(P) = \emptyset$ ，或者与 K 相交，导致 K 的形状发生变化。因而假设不成立。

推论 2 不论 v_i 是凸点还是凹点，如图 6(b)和 7(b)所示，简单多边形 P 的边 e_{i+1} 在与 k_i 交于两点时，第二个交点 w'' 一定位于 k_i 上从 w' 开始沿 k_i 的顺时针方向上的边或初始半线上。

证明 如图 11 所示，由于 v_i 必定位于 stop 的右方，过点 v_i 做 start 和 stop 的平行线以及 k_i 的支持线，三条直线将平面划分位 6 个区域，当 v_{i+1} 位于区域 I，则 k_i 落在 e_{i+1} 的右边， k_{i+1} 为空；当 v_{i+1} 位于 II 和 V 区域，那么 e_{i+1} 与 k_i 只有一个交点，且交点落在 start 平行线的左方；如果 v_{i+1} 位于 III 和 VI 区域，则 e_{i+1} 与 k_i 有两个交点，均落在 start 平行线的右方；当 v_{i+1} 位于 IV 区域，则 k_i 落在 e_{i+1} 的左边， k_{i+1} 不变。从上面的分析得出结论，无论 v_{i+1} 出现在 v_i 的哪一个方位，边 e_{i+1} 在与 k_i 交于两点时，第二个交点 w'' 一定位于 k_i 上从 w' 开始沿 k_i 的顺时针方向上的边或初始半线上。

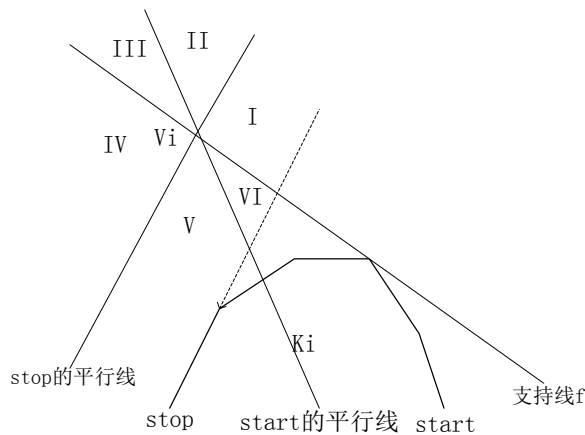


图 11 定理 2 证明的图示

6. 算法实现

(1) 主要数据结构及算法

程序共分为两个部分：

- 界面模块。该模块实现如下功能
 - ✓ 有序点集的输入。保证得到的多边形是简单多边形（不相邻的线段不相交），保证相邻的线段不共线。
 - ✓ 有序点集的导入和导出。以文件的形式保存输入的点集，并能够从文件中得到输入的点集
 - ✓ 可视化演示算法的流程（即 **kernel** 的生成过程的可视化演示）
 - ✧ 单步演示（前进，后退）
 - ✧ 连续演示，连续演示的暂停和恢复
 - ✧ 演示中间的特定步
 - ✧ 特例演示，如螺旋型等
- 核心算法模块。该模块实现如下功能
 - ✓ 针对从界面模块得到的数据，按照 **kernel** 的构造算法，生成每一步的相应数据（用于界面模块的显示）
 - ✓ 将生成 **kernel** 的每一步的相关数据保存在数据结构 **MyKernels** 中

(2) 主要数据结构和算法

基本数据结构：

- 点的表示：

```
public class MyPoint {
    float x,y;      该点的坐标
    MyPo int next,pre;  向前向后指针，分别指向前一个点和后一个点
}
```

- **kernel** 的数据结构表示：

事实上，**kernel** 的数据结构就是一个双向循环链表，**head** 指向链表的第一个元素。其中 **_poly[]** 数组为产生该 **kernel** 的简单多边形。

在该数据结构中并没有显式的表示直线和线段，代之以双向链表中相邻两个点所确定的直线或线段。

```
public class MyPointList {
```

```

double Min_Value = 0.0001;    误差容限
MyPoint head;                指向链表头
MyPoint F, L, F0, L0, V0;    分别指当前处理点的支持点, V0的支持点
                              及 V0.
MyPoint Vi, Viplus1, Visub1; 指 Vi, Vi+1, Vi+1
int maxSteps;                生成 kernel 的最大步数
MyPoint _poly[];            输入并经过预处理的简单多边形的顺序点集。
}

```

支持的操作:

- 向双向链表中添加和删除点或点集
- 点与直线的位置关系判断: 三角形面积法
- 直线与直线, 直线与线段, 线段与线段的位置关系的判断 (即判断是否有交点), 如果有交点, 则能求出交点的坐标
- 更新相应数据, 如, F, L, F0, L0 等
- 判断一个点是凹点还是凸点

用以上的操作集和数据集可以由 K_i (第 i 个 kernel) 生成 K_{i+1} (第 $i+1$ 个 kernel)。

- 用于演示的数据结构:

```
public class MyKernels
```

该数据结构中包含以下数据:

- `_Kernels[]` 数组, 用于存放由核心算法传递过来的 K_i , 以及相应的 F, L, L_0 , F_0 , V_i , V_{i+1}
- 一些用于显示控制的变量,
 - `boolean showF0L0V0;` 是否显示 F_0 , L_0 , V_0
 - `boolean showFL;` 是否显示 F, L
 - `boolean showShdowFL;` 是否显示 F, L 间的阴影
 - `boolean showHalfS;` 是否显示半平面的阴影
 - `boolean showKernelsBefore;` 是否显示前面生成的 kernel

该数据结构中包含的操作

- 生成用于绘制第 i 个 kernel 的相关数据

- 用于绘图的数据结构

```
public class canvas
```

该数据由 MyKernels 产生。

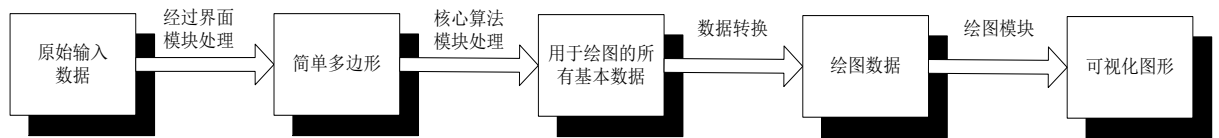
操作:

- 画点
- 画线
- 画内部添充的多边形 (即 kernel)
- 绘支持线 F, L, F_0 , L_0
- 绘制 FL 间的阴影
- 绘制半平面的阴影

- 与经典算法的不同:

将 K_0 限制为一矩形区域 (遍历简单多边形, 生成一能覆盖该简单多边形的最小矩形)。此操作使初始的 K_0 封闭, 从而排除了无穷远点的处理和 kernel 不封闭时的处理。

(3) 算法流程



7. 性能分析

算法分析集中在两个主要操作上，首先是 kernel 的修改，即求 k_i 与半平面 $\wedge e_{i+1}$ 的交，从而得到 k_{i+1} ；其次是 F_i 和 L_i 的更新，包括求支持点以及交点时对 k_i 进行的扫描操作。在 a(iii) 和 b(ii) 的情况下，对 k_i 的修改也就意味着对支持点的修改。

我们从考虑求交入手，在 a(iii) 的情况下，从 F_i 开始逆时针和顺时针扫描 k_i ，从而得到 $\wedge e_{i+1}$ 与 k_i 的两个交点 w' 和 w'' ，（当然同时也能得到 F_{i+1} ），令 N_i 是扫描到的边的总条数，所以一次这样的操作意味着从 k_i 要删除 $N_i - 2$ 条边，又由于被删除的边与多边形的边在同一条直线上，我们有 $\sum (N_i - 2) \leq n$ ，所以 $\sum N_i$ ，在算法(1.1)中要访问的顶点总数的上界为 $3n$ ， $O(n)$ 数量级。对(2.1)的算法分析同理。

现在我们考虑对求交过程中不能显示获得的支持点的修改，因为有些交点可以直接作为支持点，不必再加以分析。在(1.1)、(1.2)、(2.1)和(2.2)的情况下， L_i 会被修改，在 a(iii)、b(ii) 的情况下， F_i 会被修改。分析一下在求 L_{i+1} 时需要访问的 k_{i+1} 的边的集合，我们称在找到 v_{i+1} 后，紧跟在它后面的点为 overshoot，很显然，多边形中的每个顶点至多一个 overshoot，所以，overshoot 的总数为 $O(n)$ 。其次， k_i 中的每条边最多被访问两次，否则根据推论 1， $K(P)$ 就会为空。因此这部分的上界也是 $3n$ ， $O(n)$ 数量级。

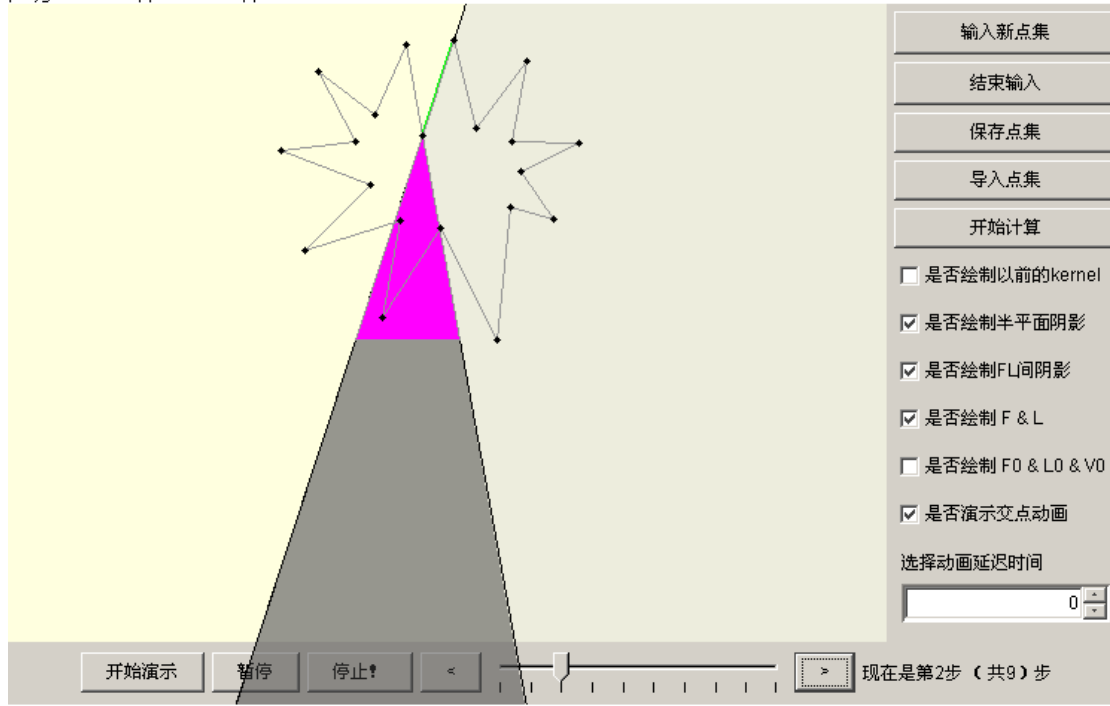
最后，每次形成 k_i 后，要针对 v_0 求支持点，复杂度分析同求 F^* 和 L^* ，实际操作时还要简单一些。

综上所述，算法复杂度为 $O(n)$ ，含常量因子。

8. 测试

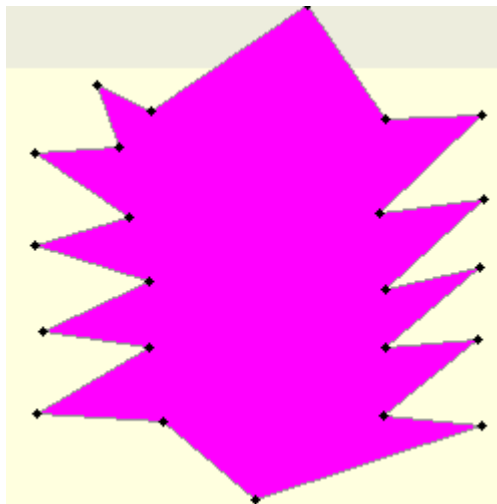
● 界面

polygonkernel.AppletUI will appear below in a Java enabled browser.

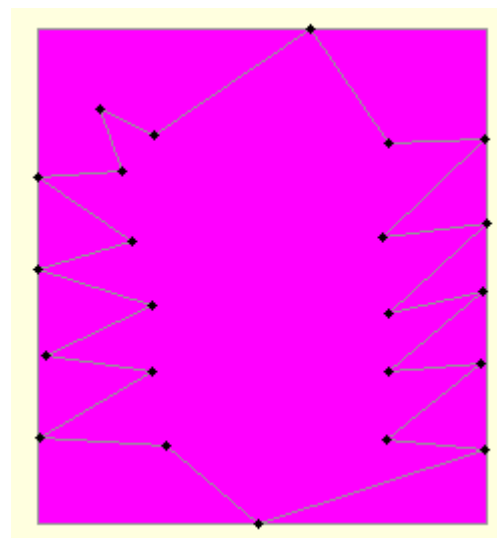


● 典型简单多边形的 kernel 生成示例

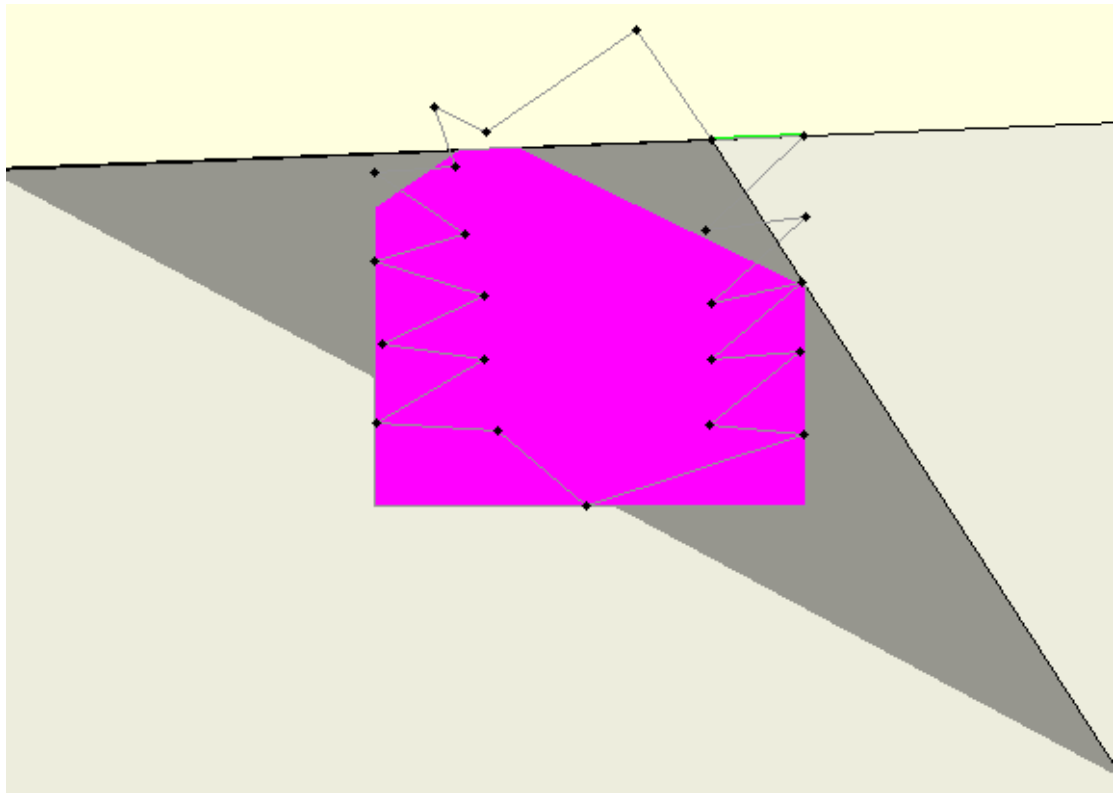
➤ 多边形 1



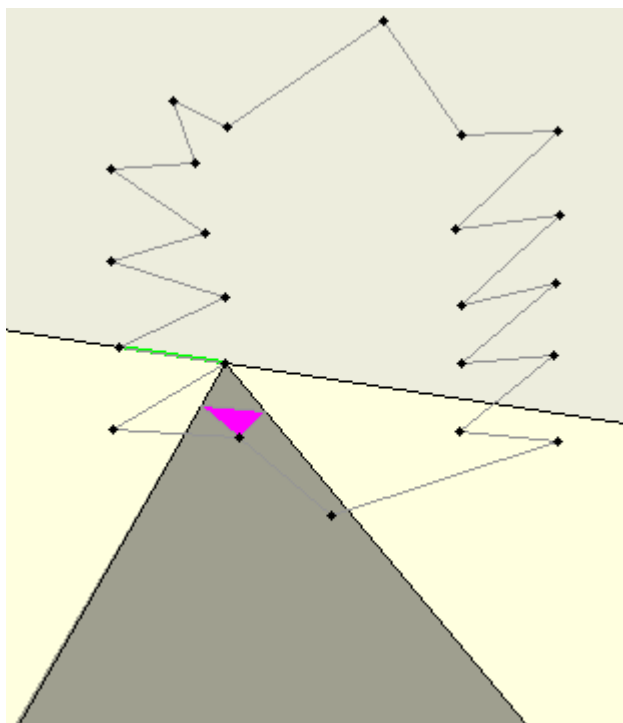
输入的简单多边形 1



初始矩形 kernel

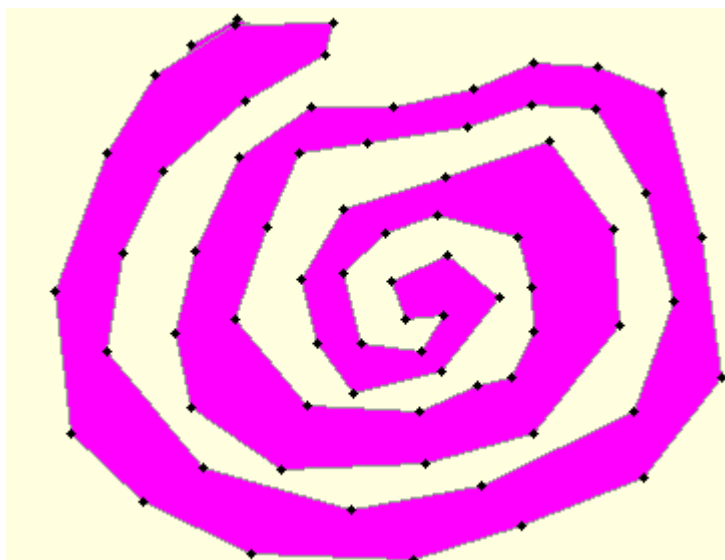


第 3 步生成的 kernel

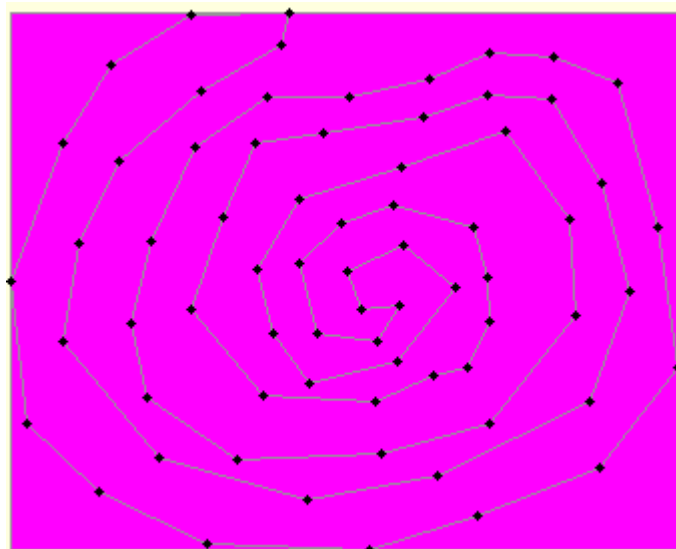


倒数第二步的 kernel,此时已能判断出 kernel 为空

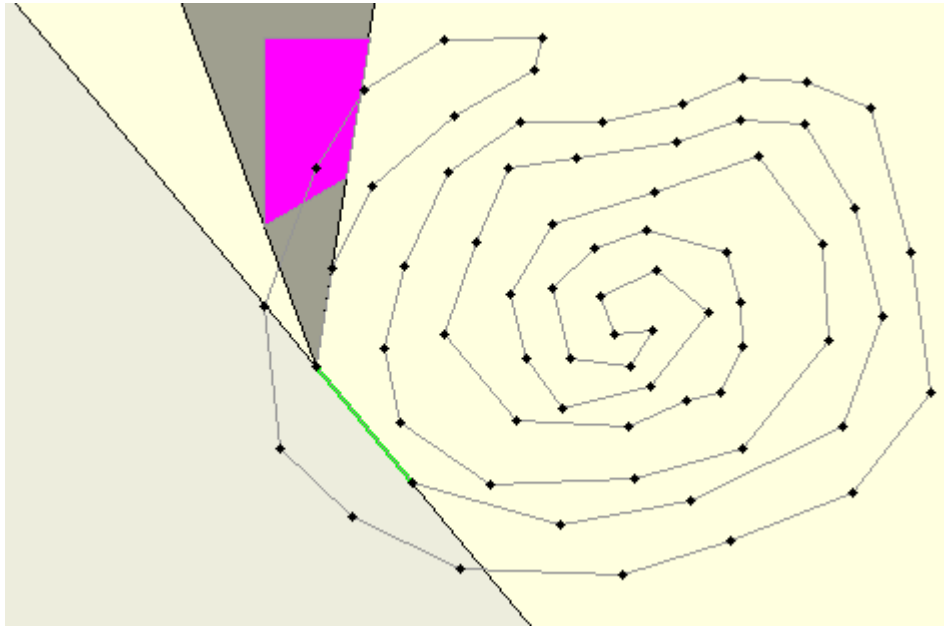
➤ 多边形 2



输入的多边形 2



初始的矩形 kernel



第 5 步即能判断 kernel 为空

9. 实现过程中碰到的问题

由于采用了 JBuilder 开发环境，导致数据计算时误差比较严重，解决时引入了变量 MIN_VALUE，缺省取值 0.0001，如果两个点的距离小于 MIN_VALUE，则认为这两个点是重合的。在求点与直线的位置关系时，如果最终确定的值在一定的误差范围内，这认为点就位于直线上。

目前没有尚未解决的问题

致谢：

.....。

参考文献

- [1] S.Schuerer An $O(\log\log n)$ Time Algorithm to Compute the Kernel of Polygon。
- [2] D. T. LEE AND F. P. PREPARATA, An Optimal Algorithm for Finding the Kernel of a Polygon, Journal of the Association for Computing Machinery, Vol 26, No 3, July 1979, pp 415.-421

引用算法：无